

TTLL303 - Transfert thermique dans une barre avec génération de chaleur interne

Résumé :

Ce test est issu de la validation indépendante de la version 3 en thermique transitoire linéaire.

Il s'agit d'un problème 2D plan représenté par une seule modélisation (plane).

Les fonctionnalités testées sont les suivantes :

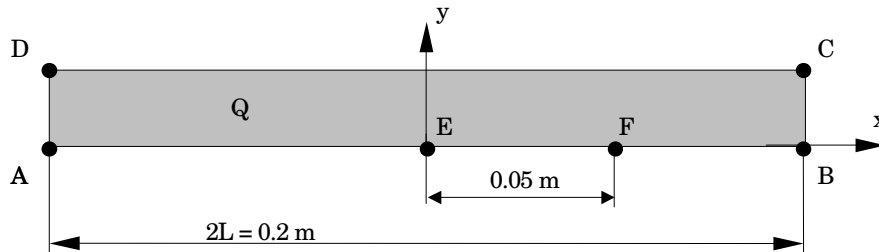
- élément thermique plan,
- algorithme de thermique transitoire,
- conditions limites : source de chaleur.

L'intérêt du test réside dans la prise en compte d'une source de chaleur.

Les résultats sont comparés à une solution analytique.

1 Problème de référence

1.1 Géométrie



1.2 Propriétés du matériau

$\lambda = 100\text{ W/m}^\circ\text{C}$ conductivité thermique
 $\rho C_p = 7000\text{ J/m}^3^\circ\text{C}$ chaleur volumique

1.3 Conditions aux limites et chargements

- Source de chaleur interne $Q = 10^6\text{ W/m}^3$,
- $[AB], [CD]$ $\varphi = 0$,
- $[BC], [DA]$ $T = 0^\circ\text{C}$.

1.4 Conditions initiales

$$T(t=0) = 0^\circ\text{C}$$

2 Solution de référence

2.1 Méthode de calcul utilisée pour la solution de référence

$$T = \frac{QL^2}{2\lambda} \left(1 - \left(\frac{x}{L} \right)^2 - \frac{32}{\pi} \sum_{i=0}^{\infty} \frac{(-1)^i}{(2i+1)^3} \cos \left(\frac{2i+1}{2L} \pi \right) \exp \left(\frac{-\lambda}{\rho c} \left(\frac{2i+1}{2L} \pi \right)^2 t \right) \right)$$

Les valeurs de référence sont obtenues avec $i=1000$.

2.2 Résultats de référence

Température aux points E et F aux instants $t=0.25$ et 0.5 s

2.3 Incertitude sur la solution

Solution analytique.

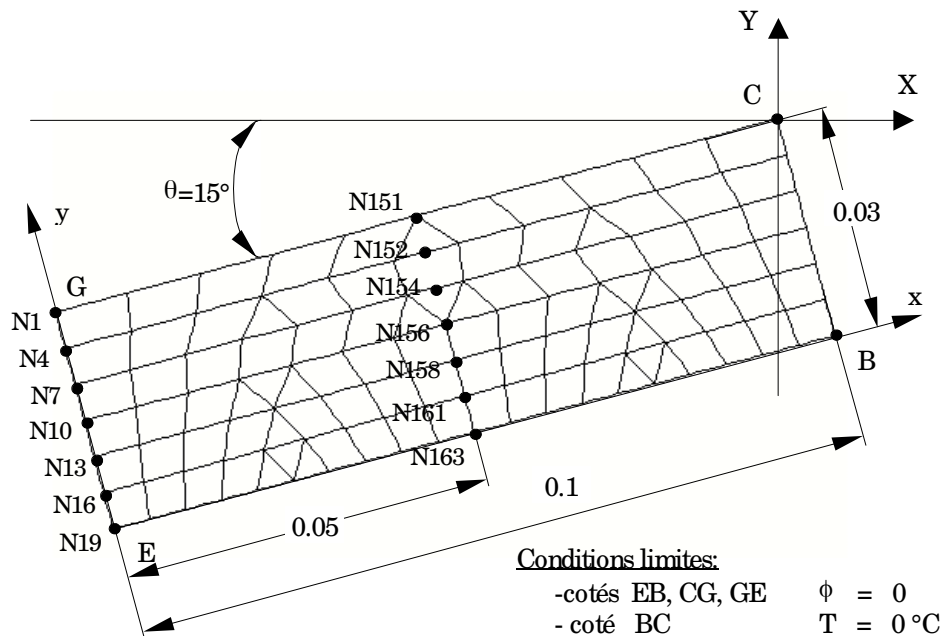
2.4 Références bibliographiques

- B.M. Nicolaï, J. de Baerdemaeker, "Computation of heat conduction in materials with random variable thermophysical properties", Int. J. num. Meth. Engng, vol 36, pp 523-536, 1993.

3 Modélisation A

3.1 Caractéristiques de la modélisation

PLAN (TRIA6, QUAD8)



3.2 Caractéristiques du maillage

Nombre de nœuds : 314
 Nombre de mailles et types : 97 (20 TRIA6, 77QUAD8)

3.3 Remarques

La discrétisation en pas de temps est la suivante :
 50 pas pour $[0., 0.50]$ soit $\Delta t = 1.D-2$

4 Résultats de la modélisation A

4.1 Valeurs testées

Identification	Référence	Aster	Ecart relatif %		Ecart Absolu	
			différence	tolérance	différence	tolérance
Températures (°C)						
$x=0, t=0.25 s$						
N1	28.62	28.58	-0.145	1,00%	-0.042	0.05
N4	28.62	28.58	-0.145	1%	-0.042	0.05
N7	28.62	28.58	-0.145	1%	-0.042	0.05
N10	28.62	28.58	-0.145	1%	-0.042	0.05
N13	28.62	28.58	-0.145	1%	-0.042	0.05
N16	28.62	28.58	-0.145	1%	-0.042	0.05
N19	28.62	28.58	-0.145	1%	-0.042	0.05
$x=0.05, t=0.25 s$						
N151	22.38	22.35	-0.127	1%	-0.028	0.05
N152	22.38	22.35	-0.127	1%	-0.028	0.05
N154	22.38	22.35	-0.127	1%	-0.028	0.05
N156	22.38	22.35	-0.127	1%	-0.028	0.05
N158	22.38	22.35	-0.127	1%	-0.028	0.05
N161	22.38	22.35	-0.127	1%	-0.028	0.05
N163	22.38	22.35	-0.127	1%	-0.028	0.05
$x=0, t=0.50 s$						
N1	41.14	41.11	-0.081	1%	-0.033	0.05
N4	41.14	41.11	-0.080	1%	-0.033	0.05
N7	41.14	41.11	-0.081	1%	-0.033	0.05
N10	41.14	41.11	-0.081	1%	-0.033	0.05
N13	41.14	41.11	-0.081	1%	-0.033	0.05
N16	41.14	41.11	-0.081	1%	-0.033	0.05
N19	41.14	41.11	-0.081	1%	-0.033	0.05
$x=0.05, t=0.50s$						
N151	31.24	31.21	-0.091	1%	-0.029	0.05
N152	31.24	31.21	-0.091	1%	-0.029	0.05
N154	31.24	31.21	-0.091	1%	-0.029	0.05
N156	31.24	31.21	-0.091	1%	-0.029	0.05
N158	31.24	31.21	-0.091	1%	-0.029	0.05
N161	31.24	31.21	-0.091	1%	-0.029	0.05
N163	31.24	31.21	-0.091	1%	-0.029	0.05

5 Synthèse des résultats

Les résultats obtenus sont satisfaisants, l'écart maximum est de -0.15% .

Les points d'observations, situés à $x=0.05$ et appartenant à des mailles de types différents, ont le même résultat.

Ce test a permis de tester en transitoire linéaire (modélisation `PLAN`), la commande `AFFE_CHAR_THER_F` avec l'opérande `SOURCE`.